

小团簇 Co_n ($n=1\sim 7$) 吸附 O, CO, CO_2 的密度泛函研究

doi:10.3969/j.issn.1674-7100.2023.01.004

颀雨佳¹ 袁佩²
朱裔荣¹ 李娜¹
刘叶¹

1. 湖南工业大学
材料与先进制造学院
湖南 株洲 412007
2. 湘潭大学
化工学院
湖南 湘潭 411105

摘要: 利用密度泛函理论 (DFT), 研究了吸附物 (A: O、CO 和 CO_2) 在小团簇 Co_n ($n=1\sim 7$) 上的吸附行为, 即团簇 Co_nA 的几何结构、稳定特性和电子性质。结果表明: 团簇 Co_nO 吸附位点的构型保持不变; 团簇 Co_nCO 吸附位点除 7B1 转变为 7T2 构型之外, 其余都与初始结构一致; 团簇 Co_nCO_2 随吸附位点 (顶位、桥位和空位) 结构的不同显著变化。团簇 Co_nA 的吸附能由大到小依次为: Co_nO 、 Co_nCO 、 Co_nCO_2 , 而能隙的变化规律不强, 团簇 Co_nA 的吸附稳定性、Co 和 O (C) 间距离、C—O 键长、电荷转移都呈现规律性变化, 说明吸附物被活化。团簇 Co_2 对 CO 的氧化机制研究中, 路径 b 仅需越过 0.436 eV 的能垒, 而路径 a 需要 1.686 eV, 表明路径 b 更有利, 团簇 Co_2OT 有望成为良好的 CO 氧化催化剂。

关键词: Co_nA 团簇; DFT; 吸附; 电子性质; CO 氧化

中图分类号: O647.3

文献标志码: A

文章编号: 1674-7100(2023)01-0027-09

引文格式: 颀雨佳, 袁佩, 朱裔荣, 等. 小团簇 Co_n ($n=1\sim 7$) 吸附 O, CO, CO_2 的密度泛函研究 [J]. 包装学报, 2023, 15(1): 27-35.

1 研究背景

随着全球经济和社会的快速发展, 由传统交通和工业燃料的产物如一氧化碳 (CO)^[1-2] 及二氧化碳 (CO_2) 导致的全球气候问题日益严重 (气候变暖、酸雨等)^[3]。因此, 寻找 CO 和 CO_2 气体的高效监测和吸附方法对环境安全至关重要。

通常, CO 经过催化氧化可生成 CO_2 , CO_2 进一步经还原反应转化为高附加值的 CH_3OH 或 CH_4 等产

物, 这过程有利于碳资源的减污降碳和碳循环利用, 助力实现碳达峰与碳中和之路的绿色发展^[4-8]。在此过程中, 贵金属及其合金被用作催化剂, 可高效催化氧化 CO 生成 CO_2 ^[9-13]。然而, 贵金属催化剂的稀缺性促使研究者开发其他高活性低成本的 CO 低温氧化催化剂, 如廉价金属及其合金催化剂^[14-17]。

开发新催化剂时仅依据经验进行研究耗时长、费力、成本高, 而采用模拟计算可高效、环保地指导新催化剂材料的设计合成。模拟设计新催化剂过程

收稿日期: 2022-12-03

基金项目: 湖南省教育厅科学研究基金资助项目 (17C0459); 国家自然科学基金资助项目 (52174247)

作者简介: 颀雨佳 (1984-), 男, 甘肃武山人, 湖南工业大学讲师, 博士, 主要从事材料催化和性能的模拟研究,

E-mail: waixieyujia@163.com

通信作者: 刘叶 (1985-), 女, 湖南怀化人, 湖南工业大学实验员, 主要研究方向为材料表面催化,

E-mail: 420884873@qq.com

中,充分认识反应活性位点的结构和催化剂的高效利用,是设计高活性和高选择性的新型催化剂材料的关键^[18-20]。采用模拟计算构建新催化剂的最优几何结构,识别团簇的真正活性位点,指导改进合成催化剂显得尤为重要^[21]。

团簇结构是介于原子与宏观物质之间的一类物质,物理和化学性质随原子数目变化而变化,故团簇的活性与几何结构、负载等因素密切相关^[22-23]。3d过渡金属之一的钴团簇与O、CO和CO₂的吸附情况是CO氧化反应的前提,目前鲜有文献对钴团簇吸附O、CO和CO₂进行研究。本研究主要采用密度泛函理论系统研究团簇Co_n(n=1~7)和吸附物(A: O、CO、CO₂)所得团簇Co_nA的几何结构、稳定性和电子性质,探索团簇Co₂催化氧化CO的机理路径,以期对CO氧化实验研究提供理论参考。

2 计算方法

若无特殊说明,本研究所有计算过程均采用Dmol³计算程序包。主要计算参数设置为:非自旋限制,广义梯度近似(GGA)的PBE(Perdew-Burke-Ernzerhof)泛函,核处理方式采用ECP(effective core potential),基组为双数极化DNP(double numeric with polarization)。几何优化的结构都保持弛豫,对称性不限制,精度为fine,能量和位移分别设置为 1×10^{-5} Ha(1 Ha = 27.2116 eV)和0.005 Å,直到收敛。同条件下计算的CO和CO₂键长,分别为1.142 Å和1.176 Å,实验值分别为1.128 Å^[24-25]和1.161 Å^[26],二者相比误差较小,由此表明所选方法和参数合理可靠。

通过文献调研^[27-28],依据拓扑原理设计Co_n(n=1~7)团簇结构并进行优化,对所获得最低能量结构所有不等价位置的顶位(top, T)、桥位(bridge, B)、空位(hole, H)(如图1所示)及初始垂直距离大于3 Å的位置预置吸附物(A: O、CO、CO₂),在相同条件下进行结构优化,对所有优化后的结构(Co_nO、Co_nCO和Co_nCO₂)进行频率计算且无虚频^[29],以确保优化后结构是最低能量的稳定结构,然后对其进行相应性质的计算。过渡态通过LST/QST(linear synchronous transit/quadratic synchronous transit)方法进行搜索获得,过渡态的频率计算在势能面上有唯一虚频,表明过渡态结构合理可靠。

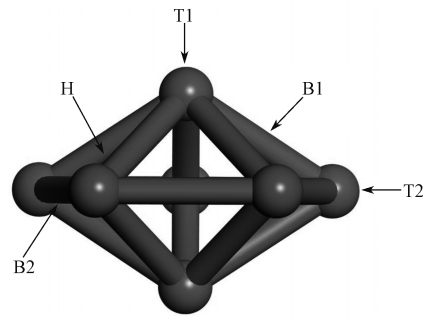


图1 团簇的吸附位

Fig. 1 Adsorption sites of the clusters

团簇Co_n(n=1~7)对吸附物(A: O、CO、CO₂)的吸附能定义为:

$$E_a = E(\text{Co}_n\text{A}) - E(\text{Co}_n) - E(\text{A}), \quad (1)$$

式中: $E(\text{Co}_n\text{A})$ 为吸附了吸附物(A)后的总能量; $E(\text{Co}_n)$ 与 $E(\text{A})$ 分别为团簇Co_n和吸附物(A)的能量。吸附能 E_a 为负值表示吸附放热,值越负,即绝对值越大,吸附越强。

3 结果与讨论

3.1 团簇Co_n和Co_nA的几何结构

经过优化后的最稳定团簇Co_n(n=1~7)几何结构如图2所示。由图可知,团簇Co_n(n=1~7)结构由一维到三维变化,团簇Co_n(n=2~7)的对称性分别为:Co₂为D_{∞h}对称性的直线型结构;Co₃为D_{3h}对称性的三角形结构;Co₄为T_d对称性的四面体结构;Co₅为D_{3h}对称性的三角双锥结构;Co₆为O_h对称性的正八面体结构;Co₇为D_{5h}对称性的正五角双锥结构。团簇Co₂~Co₆的几何结构与Li L.等^[27]研究中的结构相同,Co₇的几何结构与吕瑾等^[28]研究中的结构相同。

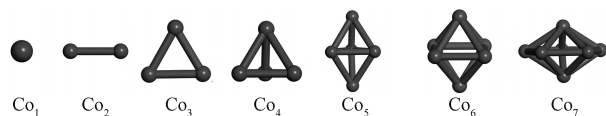
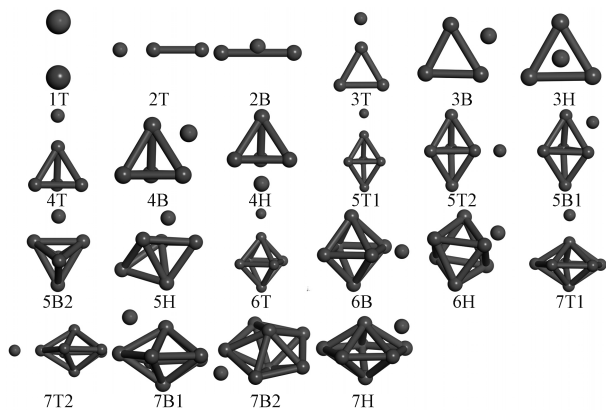


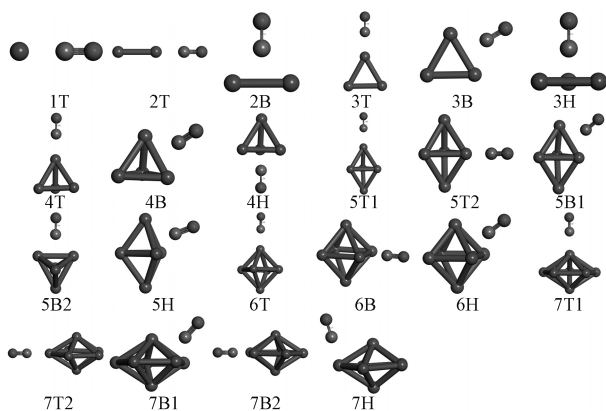
图2 团簇Co_n(n=1~7)优化后的几何结构

Fig. 2 The optimized structures of Co_n(n=1~7) clusters

为了研究团簇Co_n对吸附物(A: O、CO、CO₂)吸附的稳定性、电荷转移和化学活性,本研究考察了吸附物(A)在团簇Co_n上所有不等价的吸附位点(顶位、桥位和空位)的几何结构。吸附O的团簇Co_nO优化后最稳定的几何结构如图3所示。由图可以发现,优化后O的吸附团簇Co_nO构型都与初始优化吸附位一致。

图3 团簇 Co_nO ($n=1\sim 7$) 优化后的几何结构Fig. 3 The optimized structures of Co_nO ($n=1\sim 7$) clusters

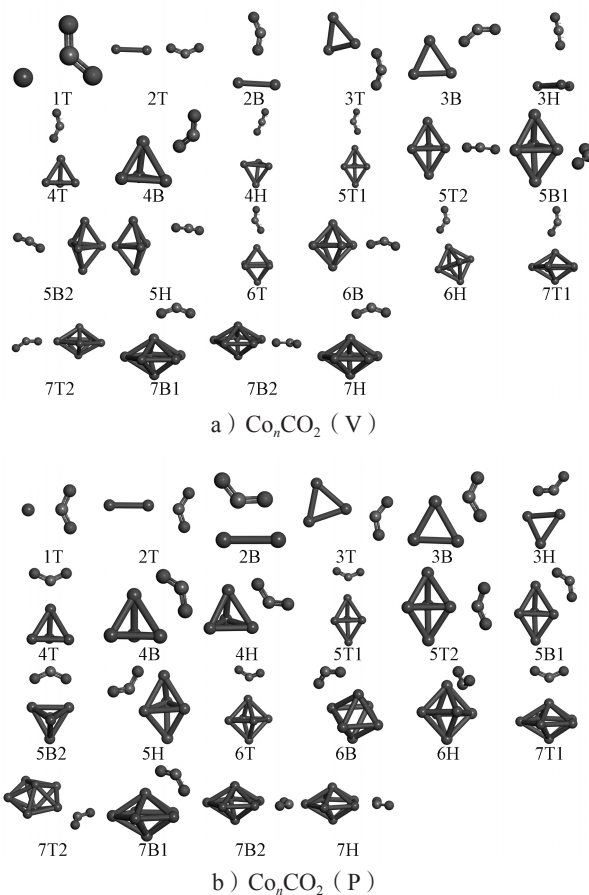
Co_n 吸附 CO 通常以 C 端吸附, CO 中的 O 原子提供电子对的配位键, 使 C 原子周围的电子云密度增大, 所以 CO 常以 C 作为吸附配位原子^[30-31]。因此, 本研究中初始结构以 C 端垂直于吸附位点进行优化, 团簇 Co_nCO ($n=1\sim 7$) 优化后的几何结构如图 4 所示。由图可以发现, 团簇 $\text{Co}_7\text{COB1}$ (7B1) 由初始的桥位吸附转变为接近顶位吸附的构型 (7T2), 其余团簇 Co_nCO 吸附构型都与初始吸附位点构型一致。

图4 团簇 Co_nCO ($n=1\sim 7$) 优化后的几何结构Fig. 4 The optimized structures of Co_nCO ($n=1\sim 7$) clusters

吸附物 CO_2 在团簇 Co_n 上的吸附有两种情况: 以氧端为主的垂直吸附 (V) 和以 C 端为主的平行吸附 (P) 构型。团簇 Co_nCO_2 ($n=1\sim 7$) 优化后的几何结构如图 5 所示。

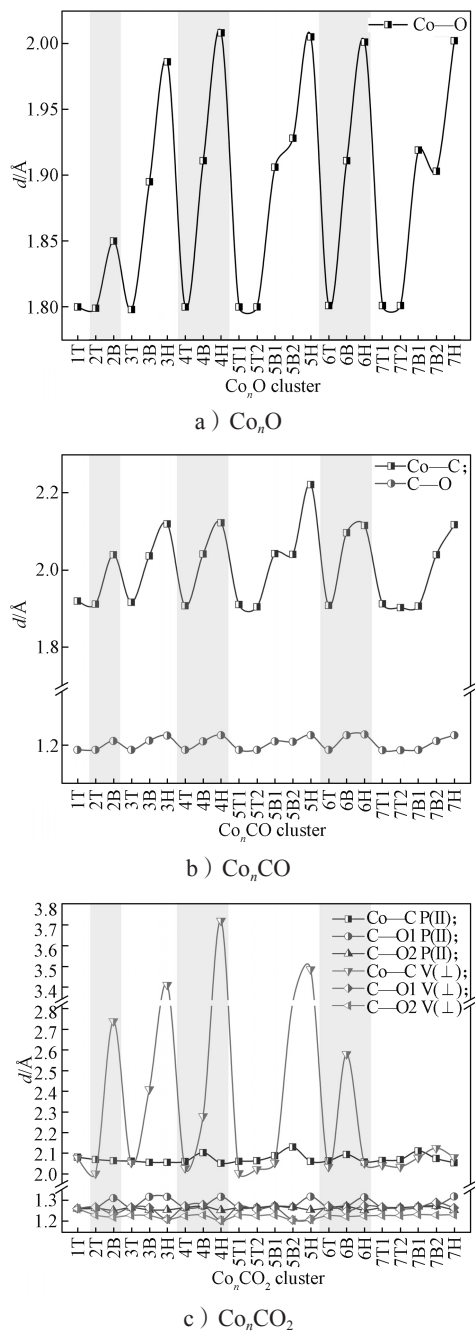
由图 5a 可知, 垂直吸附构型团簇 Co_nCO_2 (V), 在初始距离大于 3 \AA 时, 所有结构都表现为远离团簇 Co_n 情况; 在初始距离大于 2.5 \AA 时, 大部分结构表现为远离团簇 Co_n 情况; 在初始距离略大于 2 \AA 时, 22 种结构中依然有 8 种表现出远离团簇 Co_n 情况。

由图 5b 可知, 以 C 端为主的平行吸附团簇 Co_nCO_2 (P), 顶位位点都是以 C 端吸附; 桥位位点除了 $\text{Co}_2\text{CO}_2\text{B}$ (2B) 和 $\text{Co}_3\text{CO}_2\text{B}$ (3B) 以 C—O 键平行 Co—Co 键吸附外, 其余桥位都以 O 和 O 端同时吸附; 空位位点均转变为 C—O 键平行 Co—Co 键吸附。团簇 Co_nCO_2 中 CO_2 的 $\angle \text{O-C-O}$ (键角) 变化为: 垂直吸附 (V) 构型中 $\angle \text{O-C-O}$ 介于 $132^\circ \sim 168^\circ$; 平行吸附 (P) 构型中 $\angle \text{O-C-O}$ 介于 $124^\circ \sim 131^\circ$ 。C—O 键平行 Co—Co 键 (空位, 2B 和 3B) 构型的 $\angle \text{O-C-O}$ 变化要比顶位和桥位都大, 即 $\angle \text{O-C-O}$ 比优化前的 $\angle \text{O-C-O}$ (180°) 要小, 进一步也说明团簇对 CO_2 产生了活化作用。

图5 团簇 Co_nCO_2 ($n=1\sim 7$) 优化后的几何结构Fig. 5 The optimized structures of Co_nCO_2 ($n=1\sim 7$) clusters

Co_n 与吸附物 (A: O、CO、 CO_2) 形成的团簇 Co_nA 优化后不同构型的键长变化分别如图 6 所示。

由图 6a 可知, 团簇 Co_nO 中 Co—O 键长 (d) 介于 $1.798\sim 2.008 \text{ \AA}$ 之间, 与初始设定距离 (3 \AA) 相比, Co—O 键长都显著变短。相同 n 时, 不同吸附位点

图6 团簇 Co_nA 优化后键长Fig. 6 The optimized bond length of Co_nA clusters

上 $\text{Co}-\text{O}$ 键长由大到小依次为: H、B、T, 优化后 $\text{Co}-\text{O}$ 键长的变化规律性较明显。

由图 6b 可知, 团簇 Co_nCO 中 $\text{Co}-\text{C}$ 键长介于 $1.902\sim 2.221\text{ \AA}$ 之间, 明显比初始设定距离 (3 \AA) 小; $\text{C}-\text{O}$ 键长介于 $1.187\sim 1.228\text{ \AA}$ 之间, 比优化前的 CO 键长 (1.142 \AA) 显著增长。整体上, 团簇 Co_nCO 中不同吸附位点 $\text{Co}-\text{C}$ 键长和 $\text{C}-\text{O}$ 键长变化由大到小依次为: H、B、T。以上数据初步表明 CO 被活化,

具体情况还需结合电子性质进行解释。

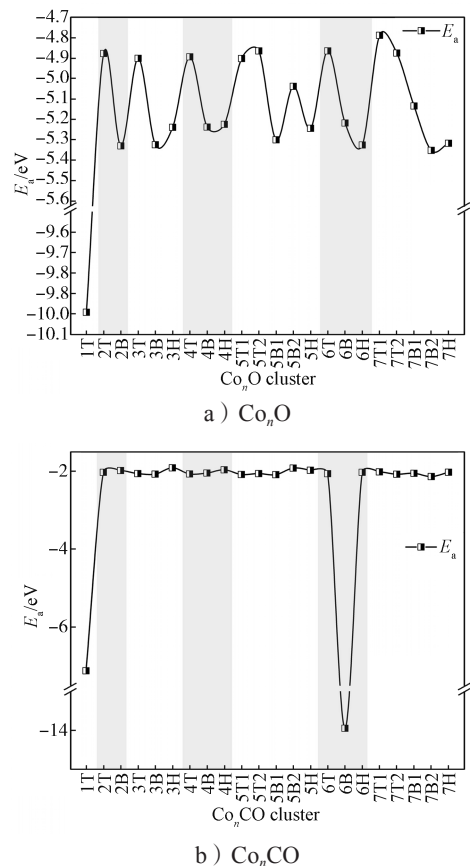
由图 6c 可知, 团簇 Co_nCO_2 (V 和 P 型) 优化后, 氧端为主的垂直吸附 (V) $\text{Co}-\text{O}$ 键长介于 $2.002\sim 3.721\text{ \AA}$ 之间 (初始距离约 2.05 \AA); 而 C 端为主的水平吸附 (P) $\text{Co}-\text{C}$ (O) 键长介于 $2.052\sim 2.130\text{ \AA}$ 之间 (初始距离大于 3 \AA), $\text{Co}-\text{C}$ (O) 键长表明吸附以 C 端吸附为主。团簇 Co_nCO_2 中 $\text{Co}-\text{C}$ (O) 键长, 团簇 Co_nCO_2 中 CO_2 的 $\text{C}-\text{O}1$ 和 $\text{C}-\text{O}2$ 键长, 水平吸附 (P) 要比垂直吸附 (V) 略大; 水平吸附 (P) 结构中 $\text{C}-\text{O}$ 键平行 $\text{Co}-\text{Co}$ 键要比 $\text{Co}-\text{C}$, O 和 O 端同时吸附情况的 $\text{C}-\text{O}$ 键长变化更显著 (即空位要比顶位和桥位变化更大), 相比优化前 CO_2 键长 (1.176 \AA) 明显增长, 表明 CO_2 被活化。

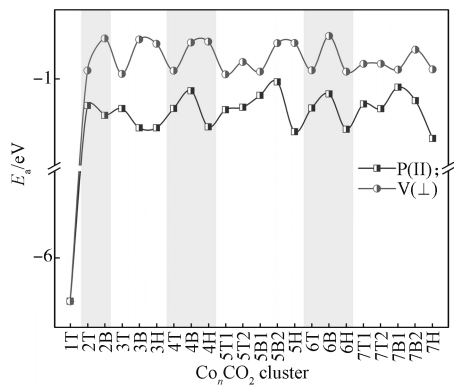
3.2 团簇 Co_nA 的结构稳定性

3.2.1 吸附能分析

吸附物 (A) 在团簇 Co_n ($n=1\sim 7$, 用 n 表示 Co_n) 所有不等价的顶位、桥位和空位上吸附, 吸附能可依据公式 (1) 计算获得, 最稳定团簇 Co_nA 的吸附能如图 7 所示。

图 7a 中团簇 Co_nO ($n=2\sim 7$) 不等价吸附位点的结构优化后, 顶位的吸附能绝对值明显要比桥位、



c) Co_nCO_2 图7 团簇 Co_nA 的吸附能Fig. 7 Adsorption energy of Co_nA clusters

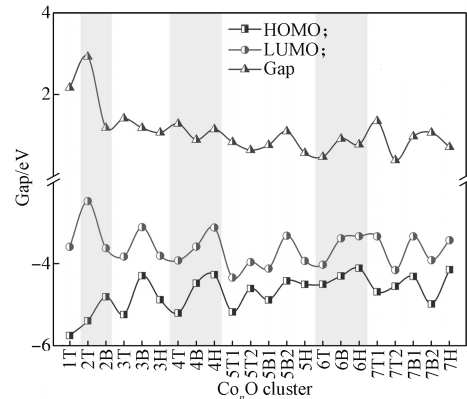
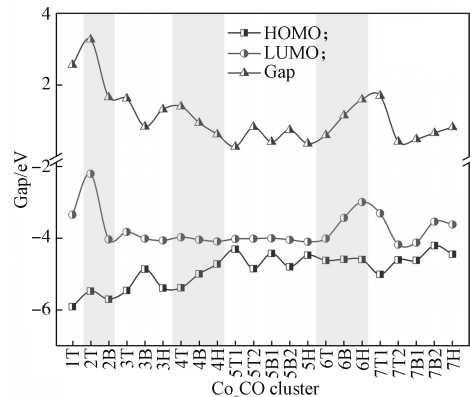
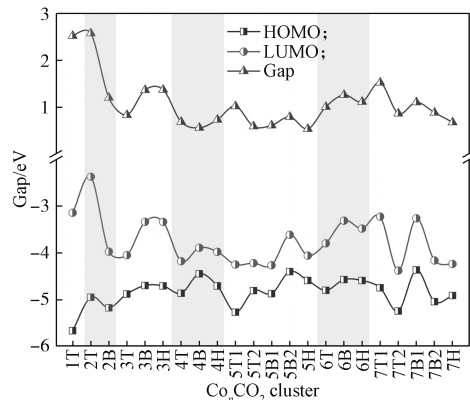
空位的小, 表明顶位的吸附不及桥位、空位稳定; 所有结构中团簇 7B2 的吸附能为 -5.351 eV, 绝对值最大, 吸附稳定性最强。图 7b 中团簇 Co_nCO ($n=2\sim 7$) 所有不等价的结构优化后, 顶位和桥位结构吸附能的差距不明显, 顶位和桥位稳定性略大于空位; 相比其他结构, 团簇 6B 的吸附能为 -13.951 eV, 绝对值最大, 吸附稳定性最强。图 7c 中团簇 Co_nCO_2 ($n=2\sim 7$) 所有不等价位点的结构优化后, 通过比较氧端吸附为主的垂直吸附 (V) 和 C 端为主的平行吸附 (P) 的吸附能, 可以明显观察到平行吸附都要比垂直吸附更加稳定, 故后续研究中的吸附物 CO_2 都以平行吸附为研究对象。此外, C—O 键平行 Co—Co 键为主的吸附要比其它吸附都要稳定, 最稳定的构型是团簇 7H, 吸附能为 -1.514 eV。通过对比图 7a~c 可以发现, 团簇 Co_nA 吸附能由大到小依次为: Co_nO 、 Co_nCO 、 Co_nCO_2 , 表明吸附物 (A: O、CO、 CO_2) 在团簇上吸附之后, 吸附物可进一步加强团簇 Co_n 的稳定性, 吸附物的影响强度由强到弱依次为: O、CO、 CO_2 。

3.2.2 能隙分析

能隙 (Gap) 是最低未占据分子轨道 (lowest unoccupied molecular orbital, LUMO) 与最高占据分子轨道 (highest occupied molecular orbital, HOMO) 的差值, 能反映电子被激发的难易程度和所需能量大小, 其值越大, 表示该分子中的电子越难以激发, 活性越差。团簇 Co_nA 优化后不同构型的能隙变化如 8 所示。

由图 8 可以看出, 团簇 Co_nA ($n=2\sim 7$) 能隙的变化规律不明显。团簇 Co_nO 的能隙介于 $0.396\sim 2.931$ eV 之间, 而团簇 Co_nO ($n=3\sim 7$) 主要介于 $0.396\sim 1.419$ eV, 团簇 7T2 能隙值最小, 表明该构型最不稳

定。团簇 Co_nCO 的能隙介于 $0.286\sim 3.273$ eV, 而团簇 Co_nCO ($n=3\sim 7$) 主要介于 $0.286\sim 1.705$ eV, 团簇 5T1 能隙值最小, 该构型最不稳定。团簇 Co_nCO_2 的能隙介于 $0.534\sim 2.584$ eV, 而团簇 Co_nO ($n=3\sim 7$) 主要介于 $0.534\sim 1.526$ eV, 团簇 5H 能隙值最小, 该构型最不稳定。对比团簇 Co_nA 的能隙, 可观察到 2T 构型能隙值最大, 是所有结构中最稳定的构型, 相对难参与反应。

a) Co_nO b) Co_nCO c) Co_nCO_2 图8 团簇 Co_nA 的能隙Fig. 8 Gap energies of Co_nA clusters

3.3 团簇 Co_nA 的电子性质分析

团簇的稳定性和反应活性与团簇原子的数量和排列密切相关,也就是与结构中的电荷转移密切相关。因O和碳原子(C)的电负性(χ)都远大于钴原子(Co),即 $\chi(O) > \chi(C) > \chi(Co)$ ^[24],故吸附物对电子的吸引能力要比团簇强,表现为得电子。采用Mulliken电荷分析原子之间的电荷转移,团簇 Co_nA 中吸附物(A)上电荷变化情况如图9所示。

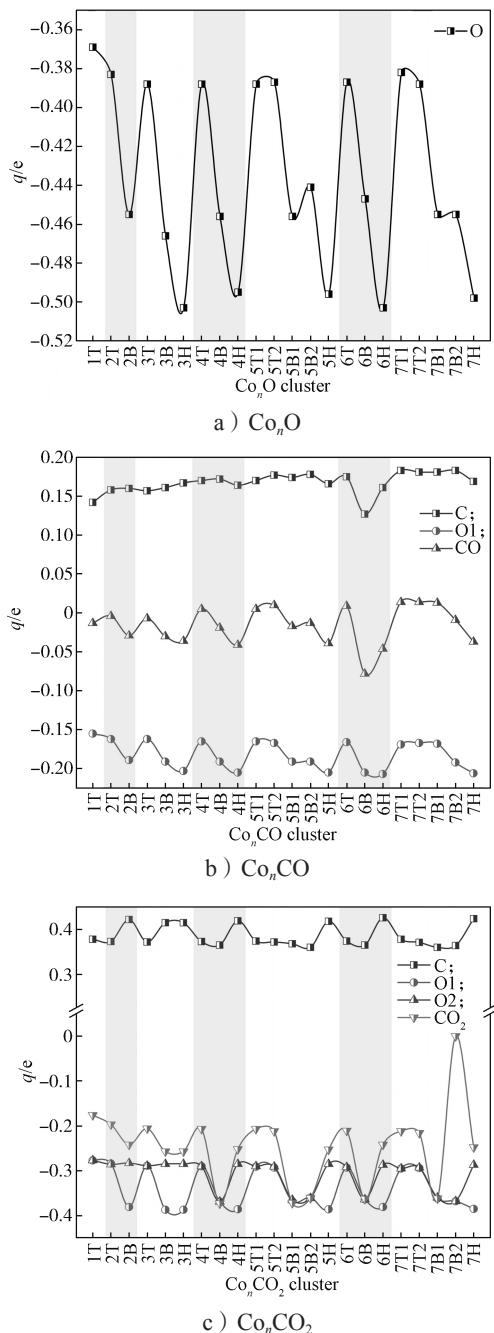


图9 团簇 Co_nA 的电荷分析

Fig. 9 Charge analysis for Co_nA clusters

图9a中吸附O后的团簇 Co_nO 中O得电子带负电,金属团簇失电子带正电。团簇 Co_nO 中相同数目 n ,不同吸附位点上O得电子强度由强到弱依次为:空位、桥位、顶位。电荷转移进一步表明团簇 Co_n 活化了原子氧^[32]。图9b中吸附CO后的团簇 Co_nCO 中O得电子带负电,C和金属团簇失电子带正电,团簇 Co_nCO 中相同数目 n ,不同吸附位点上O(CO)得电子强度由强到弱依次为:空位、桥位、顶位。电荷转移进一步表明CO被团簇 Co_n 活化了。图9c中吸附 CO_2 后的团簇 Co_nCO_2 中O得电子带负电,C和金属团簇失电子带正电,团簇 Co_nCO_2 空位和桥位(2B和3B)构型中O1的得电荷能力明显要比其它位置和O2得电荷强,电荷转移进一步表明团簇C—O1键平行Co—Co键更易活化 CO_2 。

3.4 团簇 Co_2 对 CO 的催化氧化反应机理

因团簇 Co_nO 是团簇 Co_nO_2 氧化反应过程的分解产物,而且团簇 Co_nO 的吸附能大于 Co_nCO 、 Co_nCO_2 的,表明共吸附过程中团簇 Co_nO 更稳定,且团簇 Co_2O 和团簇 Co_2CO 是所研究团簇 Co_nO 和团簇 Co_nCO 中吸附能差值最小的结构。为了探索CO在团簇表面的氧化过程,本研究以团簇 Co_2 为研究对象进行CO的氧化路径研究,两种不同氧化路径结果如图10所示。

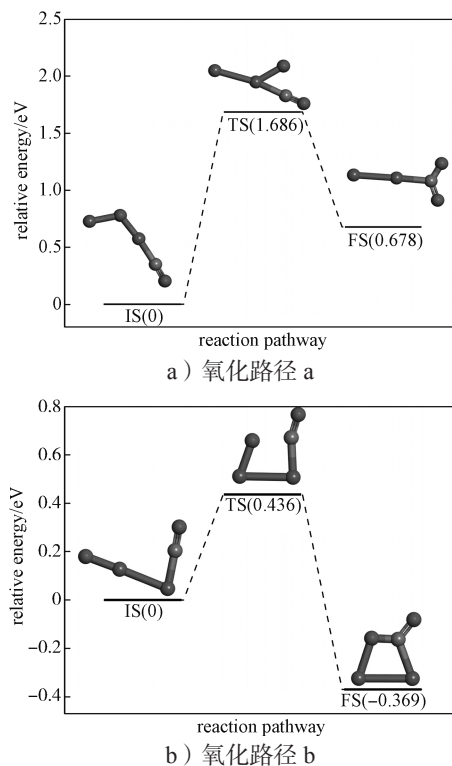


图10 团簇 Co_2 上 CO 的氧化机制

Fig. 10 Oxidation mechanism of CO on Co_2 cluster

图 10a 氧化路径 a 中, 团簇 Co_2OB 和 Co_2COT 为形成的初始结构 (IS), 团簇 $\text{Co}_2\text{CO}_2\text{T}$ 为最终状态结构 (FS), 需要的活化能为 1.686 eV, 反应需要吸收 0.678 eV 的能量。图 10b 氧化路径 b 中, 团簇 Co_2OT 和 Co_2COT 为形成的初始结构 (IS), 团簇 $\text{Co}_2\text{CO}_2\text{B}$ 为最终状态结构 (FS), 需要的活化能为 0.436 eV, 反应需放出 0.369 eV 的能量。通过对比两种路径可知, 路径 b 反应所需活化能 (能垒) 低, 且是放热反应, 更易发生, 故路径 b 的产物要比路径 a 的更加稳定, 反应路径 b 更有利, 主要原因可能是团簇 Co_2OB 的吸附能大于团簇 Co_2OT , 团簇 Co_2OT 更易于参与化学反应, 而且 O 和 CO 间的位阻效应, 最终导致路径 a 的反应能垒比路径 b 大。团簇 Co_2OT 有望成为 CO 氧化的良好催化剂。

4 结论

本文采用密度泛函理论研究了团簇 Co_n ($n=1\sim 7$) 对吸附物 (A: O、CO 和 CO_2) 的吸附行为, 得到如下结论。

1) 几何结构方面。团簇 Co_nA 随吸附物的不同而产生不同变化, 吸附物为 O 的团簇 Co_nO 的吸附位点结构无明显变化; 吸附物为 CO 的团簇 Co_nCO 仅 7B1 由初始的桥位转变为近似顶位的 7T2, 其余无明显变化; 吸附物为 CO_2 的团簇 Co_nCO_2 随吸附位 (顶位、桥位和空位) 不同而显著变化, 顶位位点都以 C 端吸附为主, 桥位位点除了 2B 和 3B 外, 其余桥位都以 O 和 O 端共吸附为主, 空位、2B 和 3B 吸附均转变为 C—O 键平行 Co—Co 键为主。

2) 吸附能方面。团簇 Co_nA 吸附能的绝对值由大到小依次为: Co_nO 、 Co_nCO 、 Co_nCO_2 , 稳定性由强到弱的变化规律, 表明吸附物可进一步增强团簇 Co_n 的稳定性, 即吸附物对团簇 Co_n 的影响强度由强到弱依次为: O、CO、 CO_2 。

3) 团簇 Co_n 与吸附物方面。团簇 Co_n 和 C 失电子带正电, O 都得电子带负电; 吸附能、电荷转移及活性位点与吸附物距离随空位、桥位、顶位位置不同而逐渐减小, 能隙变化规律不明显, 表明团簇 Co_n 对吸附物 (A) 进行了活化。

4) 氧化反应路径方面。团簇 Co_2 上 CO 的氧化反应路径 b 比 a 更有利, 仅需要越过 0.436 eV 的活化能, 放出 0.369 eV 的能量。团簇 Co_2OT 有望成为 CO 氧化的良好催化剂。

参考文献:

- [1] ESRAFILI M D, MOUSAVIAN P. Probing Reaction Pathways for Oxidation of CO by O_2 Molecule over P-Doped Divacancy Graphene: A DFT Study[J]. Applied Surface Science, 2018, 440: 580–585.
- [2] GAO Z Y, SUN Y, LI M H, et al. Adsorption Sensitivity of Fe Decorated Different Graphene Supports Toward Toxic Gas Molecules (CO and NO)[J]. Applied Surface Science, 2018, 456: 351–359.
- [3] SOSA A N, MIRANDA Á, PÉREZ L A, et al. CO and CO_2 Adsorption Performance of Transition Metal-Functionalized Germanene[J]. Materials Letters, 2021, 300: 130201.
- [4] XIE F Q, XU S Y, DENG L D, et al. CO_2 Hydrogenation on Co/Ce $\text{O}_{2-\delta}$ Catalyst: Morphology Effect from Ce O_2 Support[J]. International Journal of Hydrogen Energy, 2020, 45(51): 26938–26952.
- [5] LI X D, SUN Y F, XU J Q, et al. Selective Visible-Light-Driven Photocatalytic CO_2 Reduction to CH_4 Mediated by Atomically Thin CuIn_5S_8 Layers[J]. Nature Energy, 2019, 4(8): 690–699.
- [6] WANG Z W, WAN Q, SHI Y Z, et al. Selective Photocatalytic Reduction CO_2 to CH_4 on Ultrathin TiO_2 Nanosheet via Coordination Activation[J]. Applied Catalysis B: Environmental, 2021, 288: 120000.
- [7] NAVARRO-JAÉN S, VIRGINIE M, BONIN J, et al. Highlights and Challenges in the Selective Reduction of Carbon Dioxide to Methanol[J]. Nature Reviews Chemistry, 2021, 5(8): 564–579.
- [8] WEI X F, Cao S F, Wei S X, et al. Theoretical Investigation on Electrocatalytic Reduction of CO_2 to Methanol and Methane by Bimetallic Atoms TM1/TM2-N@Gra (TM = Fe, Co, Ni, Cu)[J]. Applied Surface Science, 2022, 593: 153377.
- [9] DONONELLI W, MOSKALEVA L V, KLÜNER T. CO Oxidation over Unsupported Group 11 Metal Catalysts: New Mechanistic Insight from First-Principles[J]. The Journal of Physical Chemistry C, 2019, 123(13): 7818–7830.
- [10] YU M G, FENG Y X, GAO L Y, et al. Phosphomolybdic Acid Supported Single-Metal-Atom Catalysis in CO Oxidation: First-Principles Calculations[J]. Physical Chemistry Chemical Physics: PCCP, 2018, 20(31): 20661–20668.
- [11] DONONELLI W, KLÜNER T. CO Adsorption and Oxygen Activation on Group 11 Nanoparticles: A

- Combined DFT and High Level CCSD(T) Study About Size Effects and Activation Processes[J]. *Faraday Discussions*, 2018, 208: 105-121.
- [12] SALO P, HONKALA K, ALATALO M, et al. Catalytic Oxidation of CO on Pd(III)[J]. *Surface Science*, 2002, 516(3): 247-253.
- [13] SUN K J. Theoretical Investigations on CO Oxidation Reaction Catalyzed by Gold Nanoparticles[J]. *Chinese Journal of Catalysis*, 2016, 37(10): 1608-1618.
- [14] BUTT M H, ZAIDI S H M, NABEELA, et al. Cu-Doped Phosphorene as Highly Efficient Single Atom Catalyst for CO Oxidation: A DFT Study[J]. *Molecular Catalysis*, 2021, 509: 111630.
- [15] LUO M M, LIU C, PEERA S G, et al. Atomic Level N-Coordinated Fe Dual-Metal Embedded in Graphene: An Efficient Double Atoms Catalyst for CO Oxidation[J]. *Colloids and Surfaces A: Physicochemical and Engineering Aspects*, 2021, 621: 126575.
- [16] MI T G, WU Y W, ZHOU X Y, et al. Mechanism Insights into CO Oxidation over Transition Metal Modified V_2O_5/TiO_2 Catalysts: A Theoretical Study[J]. *Chemosphere*, 2022, 297: 134168.
- [17] KAO W H, WU S Y, CHEN H T, et al. Exploring Reaction Mechanisms for CO Oxidation on Boron-Doped Carbon Nanotubes: A Computational Approach[J]. *Applied Surface Science*, 2019, 480: 63-69.
- [18] GAO Z Y, LI L L, HUANG H Y, et al. Adsorption Characteristics of Acid Gases (NO , NO_2 , SO_2 and SO_3) on Different Single-Atom Nickel Adsorbent: A First-Principles Study[J]. *Applied Surface Science*, 2020, 527: 146939.
- [19] WANG Y X, SU H Y, HE Y H, et al. Advanced Electrocatalysts with Single-Metal-Atom Active Sites[J]. *Chemical Reviews*, 2020, 120(21): 12217-12314.
- [20] DONG J L, GAO Z Y, YANG W J, et al. Adsorption Characteristics of Co-Anchored Different Graphene Substrates Toward O_2 and NO Molecules[J]. *Applied Surface Science*, 2019, 480: 779-791.
- [21] ZANTI G, PEETERS D. DFT Study of Small Palladium Clusters Pd_n and Their Interaction with a CO Ligand ($n=1-9$)[J]. *European Journal of Inorganic Chemistry*, 2009, 2009(26): 3904-3911.
- [22] BENAIDA M, AIADI K E, MAHTOUT S, et al. Growth Behavior and Electronic Properties of Ge_{n+1} and $AsGe_n$ ($n=1-20$) Clusters: A DFT Study[J]. *Journal of Semiconductors*, 2019, 40(3): 9-17.
- [23] 王成猛, 王海燕, 高雪云, 等. 利用第一性原理研究 La_n ($n=2-10$) 小团簇的结构与稳定性 [J]. *材料导报*, 2019, 33(增 2): 222-225.
- WANG Chengmeng, WANG Haiyan, GAO Xueyun, et al. First Principles Study of the Structure and Stability of La_n ($n=2-10$) Small Clusters[J]. *Materials Reports*. 2019, 33 (S2): 222-225.
- [24] DEAN J A, LANGE N A. *Lange's Handbook of Chemistry*[M]. 15th ed. New York: McGraw-Hill, 1998: 4.37.
- [25] LIMON P, MIRALRIO A, GÓMEZ-BALDERAS R, et al. Small Transition-Metal Mixed Clusters as Activators of the C-O Bond. Fe_nCu_m -CO ($n+m=6$): A Theoretical Approach[J]. *The Journal of Physical Chemistry A*, 2021, 125(36): 7940-7955.
- [26] 蒙大桥, 罗文华, 李 赣, 等. Pu(100) 表面吸附 CO_2 的密度泛函研究 [J]. *物理学报*, 2009, 58(12): 8224-8229.
- MENG Daqiao, LUO Wenhua, LI Gan, et al. Density Functional Study of CO_2 Adsorption on Pu(100) Surface[J]. *Acta Physica Sinica*, 2009, 58(12): 8224-8229.
- [27] LI L, HUANG R, WEN Y H, et al. Structural and Magnetic Properties of Co-Pt Clusters: A Spin-Polarized Density Functional Study[J]. *Journal of Magnetism and Magnetic Materials*, 2020, 503: 166651.
- [28] 吕 瑾, 许小红, 武海顺. Co_n ($n=2-10$) 团簇的结构和磁性 [J]. *物理化学学报*, 2004, 20(9): 1118-1122.
- LÜ Jin, XU Xiaohong, WU Haishun. Structure and Magnetism of Co_n ($n=2-10$) Clusters[J]. *Acta Physico-Chimica Sinica*, 2004, 20(9): 1118-1122.
- [29] YOOSEFIAN M, ETMINAN N. Leucine/Pd-Loaded (5, 5) Single-Walled Carbon Nanotube Matrix as a Novel Nanobiosensors for in Silico Detection of Protein[J]. *Amino Acids*, 2018, 50(6): 653-661.
- [30] 董海宽, 杨子龙, 关众博, 等. 基于密度泛函理论研究掺杂石墨烯对 CO 分子吸附性能 [J]. *人工晶体学报*, 2018, 47(5): 1024-1029, 1035.
- DONG Haikuan, YANG Zilong, GUAN Zhongbo, et al. Density Functional Theory Studies of CO Molecule Adsorption on Doped Graphene[J]. *Journal of Synthetic Crystals*, 2018, 47(5): 1024-1029, 1035.
- [31] AREFI V, HORRI A, TAVAKOLI M B. Transport Properties of Na-Decorated Borophene Under CO/CO_2 Adsorption[J]. *Computational and Theoretical Chemistry*, 2021, 1197: 113159.
- [32] SCHEERDER J E, LIU S L, ZHARINOV V S, et al. Electronic Detection of Oxygen Adsorption and

Size-Specific Doping of Few-Atom Gold Clusters on Graphene[J]. *Advanced Materials Interfaces*, 2018,

5(24): 1801274.

(责任编辑: 李玉华)

Density Functional Study of O, CO and CO_2 Adsorption on Small Clusters Co_n ($n=1\sim 7$)

XIE Yujia¹, YUAN Pei², ZHU Yirong¹, LI Na¹, LIU Ye¹

(1. College of Materials and Advanced Manufacturing, Hunan University of Technology, Zhuzhou Hunan 412007, China;

2. College of Chemical Engineering, Xiangtan University, Xiangtan Hunan 411105, China)

Abstract: Using density functional theory (DFT), the adsorption behaviors of O, CO and CO_2 over small cluster Co_n ($n=1\sim 7$) were studied, with the focus on the adsorption structure, stability and electronic properties. The results indicate that the optimized structures of the cluster Co_nO adsorption site remain unchanged, and the adsorption sites of the cluster Co_nCO are consistent with initial structures, except for the fact of 7B1 changed to 7T2. The cluster Co_nCO_2 varies significantly with the structure of adsorption sites (top, bridge, and hole). The adsorption energy of cluster Co_nA is in descending order as Co_nO , Co_nCO , Co_nCO_2 , while the changes of the energy gap are of little regularity, the adsorption stability of cluster Co_nA , the distance between Co and O(C), the length of C—O bonds, and the charge transfer all show regular changes, indicating that the adsorbents are activated. The oxidation mechanism of cluster Co_2 oxidizing CO shows that path b only needs to cross the barrier of 0.436 eV and path a requires 1.686 eV, indicating that path b is more favorable. The cluster Co_2OT is expected to be a good CO oxidation catalyst.

Keywords: Co_nA cluster; DFT; adsorption; electronic property; CO oxidation